## ФРАКТАЛЬНОСТЬ ПОВЕРХНОСТИ И МАГНИТНЫЕ СВОЙСТВА ПОРОШКОВОГО "Fe-P" МАТЕРИАЛА – АНАЛОГА ТЕХНИЧЕСКОГО ЖЕЛЕЗА, ПОЛУЧЕННОГО ГОРЯЧЕЙ ОБЪЕМНОЙ ШТАМПОВКОЙ ПОРИСТОЙ ЗАГОТОВКИ

## КЕМ А.Ю.

Донской государственный технический университет, г.Ростов-на-Дону, Россия, e-mail: akem@dstu.edu.ru

Введение. В работах [1-3] показано, что особенности формирования магнитных свойств горячештампованных порошковых магнитно-мягких материалов системы «Fe-P» обусловлены предысторией их получения, влияющей на дефектность структуры, при этом снижение коэрцитивной силы, повышение максимальной и остаточной индукции и коэффициента прямоугольности петли гистерезиса  $K_{\Pi}$ , связано с окислением границ зерен исходных порошков в процессе термо-механического воздействия при горячей штамповке и формированием текстуры деформации.

В тоже время из данных работ [4-6] следует, что аппарат теории фракталов — самоподобных множеств дробной размерности, может использоваться для анализа процессов, протекающих в неупорядоченных средах и приводящих к изменению их структуры, например, формированию деформационного рельефа на поверхности порошкового материала. Методики экспериментального определения фрактальной размерности поверхности порового пространства обсуждаются в [7]. Определение фрактальной размерности поверхности порошковых материалов системы "Al-Cu" с различным содержанием Cu и установление ее связи с процессами спекания проведено в [6]. Однако вопрос о связи магнитных свойств с фрактальными характеристиками поверхности порошковых пористых тел практически не исследован и требует изучения.

**Цель настоящей работы** - определение фрактальной размерности поверхности и установление ее связи с магнитными свойствами порошковых горячештампованных материалов системы «Fe-P», полученных по различным технологическим схемам.

Материалы и методика эксперимента. В качестве исходного материала, используемого в работе для изготовления образцов порошкового материала системы «Fe-P», применялся порошок марки «PASC60» производства фирмы «Höganäs» Шве-

ция, представляющий собой смесь порошка марки ASC 100.29 и феррофосфора; при этом массовая доля фосфора в образцах составляла 0,59-0,66% [8]. Образцы материалов для исследования магнитных свойств получали по следующим технологическим схемам: образец-тороид 1 - получен холодным прессованием PASC 60 с последующим спеканием прессовки при 1150°С, 2 ч; образец-тороид 2 - получен по технологии образца 1 с использованием горячей штамповки (ДГП) спеченной заготовки, предварительно нагретой до 1100°С (время остывания заготовки 5-7 мин.); образец-тороид 3 - получен по технологии образца 2 с дополнительным отжигом после ДГП при 1100°С, 2 ч; образец 4 - получен холодным прессованием из PASC 60 без спекания, с последующим ДГП при 1100°С (время остывания заготовки 5-7 мин.) и отжигом при 1100°С, 2 ч.

Максимальную индукцию  $B_{\text{мах}}$  в полях напряженностью (H) до 2500 A/м, остаточную индукцию  $B_{\text{г}}$ , коэрцитивную силу  $H_{\text{c}}$ , начальную  $\mu_{\text{н}}$ и максимальную магнитную проницаемость  $\mu_{\text{max}}$ определяли по ГОСТ 8.377-80. Методика измерений не отличалась от описанной в [8]. Фрактальность поверхности изучалась с помощью сканирующего зондового микроскопа NT-MTD (Зеленоград). Методом вертикальных сечений Мандельброта [4] полученных изображений определялась фрактальная размерность поверхности D. Размер анализируемого участка поверхности во всех случаях не превышал 40х40 мкм. Фрактальная размерность определялась как модуль тангенса угла наклона среднего участка зависимости  $L/L_0$  (L — длина секущей линии,  $L_0$  — расстояние между точками сканирования) от увеличения в двойных логарифмических координатах. Линейная аппроксимация модуля позволяет считать фрактальную размерность интегральной характеристикой поверхности [4-6].

Результаты и их обсуждение. Подробный анализ влияния предыстории получения образцов исследуемых магнитномягких материалов на уровень их магнитных характеристик проведен в работах [1-3, 8], здесь же отметим следующее. Образецтороид 1 (таблица), не подвергавшийся горячей штамповке, обладает относительно невысоким уровнем магнитной проницаемости и максимальной индукции; у холоднопрессованного образца-тороида 2, подвергнутого горячей штамповке без последующего отжига, величина индукции возрастает, величина максимальной магнитной проницаемости достигает значений примерно 1050 Гс/э, коэрцитивная сила также увеличивается,

достигая значений примерно 300 А/м, что связано с особенностями структуры (Fe-P)-порошковых материалов (пористость+субструктура) и их дефектностью [8].

В то же время применение высокотемпературного отжига материалов после горячей штамповки (образцы-тороиды 3,4) позволяет не только увеличить значения максимальной индукции материала (для данного Н<sub>мах</sub>), его остаточной индукции и магнитной проницаемости, но и существенно (до 100 А/м) уменьшить коэрцитивную силу. Из полученных данных следует, что магнитные свойства порошкового материала являются структурно-чувствительными и существенно зависят от технологических режимов изготовления образцов, при этом пористость не является основным фактором, определяющим уровень магнитных свойств. Отмеченные нами особенности формирования магнитных свойств удовлетворительно согласуются с результатами атомно-силовых исследований изменения состояния поверхности образцов материалов методом сканирующей зондовой микроскопии. Трехмерная реконструкция поверхности одного из образцов представлена на рис.1, а линия сканирования участка его поверхности - на рис.2.

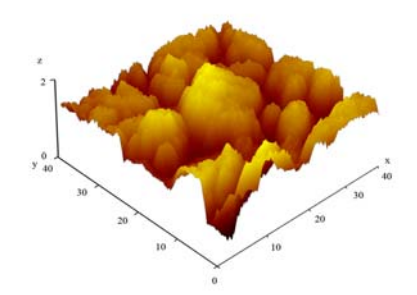


Рис.1. Реконструкция трехмерного изображения участка поверхности образца-тороида 2

Установлено, что повышение степени деформационнотермического воздействия на испытуемые образцы приводит к немонотонному изменению величины фрактальной размерности. Так, например, для образца-тороида 1 величина среднего значения показателя фрактальной размерности «D» составляет «1,340608», а для образцов 2, 3, 4 «1,302624», «1,151201» и «1,216276» соответственно.

## Результаты измерения частных петель гистерезиса образцов

Образец-тороид 1			
w1=20, lmax ≈ 1.53 A,	w1=20, Imax ≈ 4.01 A,	w1=20, Imax ≈ 10.07 A,	
Hmax ≈ 327 A/м	Hmax ≈ 867 A/м	Hmax ≈ 2155 A/м	
Максимальная индукция *	Максимальная индукция *	Максимальная индукция *	
Фтах(Hmax) = 2288±25 мкВб	Фтах(Hmax) = 3167±30 мкВб	Фтах(Hmax) = 3660±40 мкВб	
Втах(Hmax) = 0.763 ± 0,038Тл	Втах(Hmax) = 1.058 ± 0,053Тл	Втах(Hmax) = 1.223 ± 0,060Тл	
Остаточная индукция *	Остаточная индукция *	Остаточная индукция *	
Фост(Hmax) = 1792±20 мкВб	Фост(Hmax) = 2398±25 мкВб	Фост(Hmax) = 2528±25 мкВб	
Вост(Hmax) = 0.600 ± 0,030Тл	Вост(Hmax) = 0.801 ± 0,040Тл	Вост(Hmax) = 0.845±0,042Тл	
Коэрцитивная сила, Нс, А/м :137-165 Начальная магнитная проницаемость, (Гс/Э), не менее -350 Максимальная магнитная проницаемость, (Гс/Э), не менее -1850 Образец-тороид 2			
w1=20, Imax ≈ 1,60 A,	w1=20, Imax ≈ 4,06 A,	w1=20, Imax ≈ 10,07 A,	
Hmax ≈ 340 A/м	Hmax ≈ 860 A/м	Hmax ≈ 2138 A/м	
Максимальная индукция *	Максимальная индукция *	Максимальная индукция *	
Фтах(Hmax) = 1045±10 мкВб	Фтах(Hmax) = 2420±25 мкВб	Фтах(Hmax) = 3580±38 мкВб	
Втах(Hmax) = 0,418 ± 0,022Тл	Втах(Hmax) = 0,968 ± 0,050Тл	Втах(Hmax) = 1,432 ± 0,070Тл	
Остаточная индукция *	Остаточная индукция *	Остаточная индукция *	
Фост(Hmax) = 650±7 мкВб	Фост(Hmax) = 1620±20 мкВб	Фост(Hmax) = 2000±20 мкВб	
Вост(Hmax) = 0,260 ± 0,013Тл	Вост(Hmax) = 0,648 ± 0,032Тл	Вост(Hmax) = 0,800±0,040Тл	
Начальна	Коэрцитивная сила, Нс, А/м :175-315 ая магнитная проницаемость, не менее - ьная магнитная проницаемость, не менее		

	Образец-тороид 3	
w1=20, lmax ≈ 1,56 A,	w1=20, Imax ≈ 4,05 A,	w1=20, Imax ≈ 10,06 A,
Hmax ≈ 331 A/м	Hmax ≈ 860 A/м	Hmax ≈ 2136 A/м
Максимальная индукция *	Максимальная индукция *	Максимальная индукция *
Фтах(Hmax) = 3480±35 мкВб	Фтах(Hmax) = 3880±40 мкВб	Фтах(Hmax) = 4100±40 мкВб
Втах(Hmax) = 1,265 ± 0,063Тл	Втах(Hmax) = 1,411 ± 0,070Тл	Втах(Hmax) = 1,491±0,075Тл
Остаточная индукция * Фост(Hmax) = 3350±35 мкВб Вост(Hmax) = 1,218 ± 0,060Тл	Остаточная индукция * Фост(Hmax) = 3600±40 мкВб Вост(Hmax) = 1,309 ± 0,065Тл Коэрцитивная сила, Нс, А/м :92-100	Остаточная индукция * Фост(Hmax) = 3700±40 мкВб Вост(Hmax) = 1,345±0,070Тл
	ая магнитная проницаемость, не менее ьная магнитная проницаемость, не менее Образец-тороид 4	
w1=20, Imax ≈ 1,54 A,	w1=20, Imax ≈ 4.05 A,	w1=20, Imax ≈ 10.07 A,
Hmax ≈ 327 A/м	Hmax ≈ 859 A/м	Hmax ≈ 2137 A/м
Максимальная индукция *	Максимальная индукция *	Максимальная индукция *
Фтах(Hmax) = 3500±30 мкВб	Фтах(Hmax) = 3915±40 мкВб	Фтах(Hmax) = 4190±40 мкВб
Втах(Hmax) = 1.400 ± 0,07 Тл	Втах(Hmax) = 1.566± 0,078Тл	Втах(Hmax) = 1.676 ± 0,080Тл
Остаточная индукция *	Остаточная индукция *	Остаточная индукция *
Фост(Hmax) = 3220±30мкВб	Фост(Hmax) =3600±36 мкВб	Фост(Hmax) = 3700±40 мкВб
Вост(Hmax) = 1,288 ± 0,064 Тл	Вост(Hmax) = 1,440 ± 0,072Тл	Вост(Hmax) = 1,480±0,074 Тл
	Коэрцитивная сила, Нс, А/м : 91-103 ая магнитная проницаемость, не менее ьная магнитная проницаемость, не менее	

Примечание: \*-типичные абсолютные погрешности измерения потока (определяются погрешностью микровеберметра) и индукции (определяются погрешностями измерения потока и площади сечения образца). w1=20 - число витков намагничивающей обмотки.



Рис.2. Линия сканирования участка поверхности образца-тороида 2

Анализ результатов исследований сечений поверхностей образцов позволяет сделать вывод о существовании областей поверхностей, обладающих фрактальными свойствами. Это подтверждается дробными значениями размерности по всем исследованным сечениям поверхности порошковых образцов. Отметим при этом, что значения фрактальной размерности сечений удовлетворяют условию: 1≤D≤2. Наличие минимальных значений D определяется, по-видимому, погрешностью используемых алгоритмов обработки изображения и может интерпретироваться как приближение показателя фрактальной размерности к топологической размерности линии.

Сопоставление результатов измерения величины коэрцитивной силы в зависимости от технологической схемы изготовления образца с данными об изменении фрактальной размерности, показывает, что в схеме: «холодное прессование+ спекание»  $\rightarrow$  «холодное прессование+ДГП»  $\rightarrow$  «холодное прессование+ДГП+отжиг»  $\rightarrow$  «холодное прессование+спекание+ДГП+отжиг», величина коэрцитивной силы меняется соответственно по интервалу значений: «110-160"  $\rightarrow$  "170-310"  $\rightarrow$  "80-100"  $\rightarrow$  "80-100" А/м в полях напряженностью 330, 860 и 2160 А/м и соответствует темпу и знаку изменения средней величины «D». Аналогичная картина наблюдается и для величины максимальной магнитной проницаемости, также являющейся структурночувствительной характеристикой. Таким образом, изменение показателя фрактальной размерности поверхности образцов с

различной технологической наследственностью нужно, повидимому, связывать с изменениями намагниченности, вызванными внутренними деформациями и включениями, что полностью согласуется с теоретическими положениями [9].

Заключение. Показана возможность использования топологии поверхности порошковых материалов в качестве функции откли-ка/свойства процессов, ответственных за ее формирование. Концептуально использование теории фракталов позволяет прогнозировать изменение уровня магнитных свойств (коэрцитивной силы и максимальной магнитной проницаемости) порошковых материалов, однако для инженерного использования требуется наработка массива экспериментального материала и совершенствование методик оценки показателя фрактальной размерности.

## Литература:

- 1.Кем А.Ю., Чан Мань Тунг, Китаев В.В. Мёссбауэровские и магнитные исследования горячештампованного порошкового магнитно-мягкого материала Fe-P/Вестник ДГТУ, №5, 2010, с.700-712
- 2.Кем А.Ю., Чан Мань Тунг, Китаев В.В. Формирование магнитых свойств порошковых магнитно-мягких (Fe-P) материалов, аналогов технического железа // Сборник научных трудов 5-ой международной научной конференции «Новые перспективные материалы и технологии их получения (НПМ-2010)». Волгоград, ВГТУ, 2010, с.252-254
- 3.Кем А.Ю., Чан Мань Тунг, Китаев В.В. Об особенностях эволюции петли гистерезиса порошковых магнитно-мягких материалов системы (Fe-P) // Труды РГУПС, №3(12), 2010, с.49-53
- 4.Иванова В.С. Синергетика и фракталы в материаловедении. М.: Наука, 1994, 383 с. 5.Севостьянова И.Н., Кульков С.Н. Фрактальные характеристики поверхности пластически деформированного композита карбид вольфрама железомарганцевая сталь// ЖТФ, 2003, т.73, вып.2, с.81-86.
- 6.Кем А.Ю., Арестова Л.А. Процессы спекания и фрактальность порошковых материалов на основе алюминия// ФиХОМ, 2010, №6, с.51-56
- 7.Мосолов А.Б., Динариев О.Ю. Фракталы, скейлы и геометрия пористых материалов// ЖТФ, 1988, т.58, вып.2, с.157-163.
- 8.Чан Мань Тунг Особенности формирования комплекса магнитных свойств порошкового Fe-P материала аналога технического железа, полученного горячей объемной штамповкой пористой заготовки //Автореферат дисс... канд...техн.. наук.- Ростов-на-Дону, 2010, 25 с.
- 9.Киттель К. Физическая теория доменной структуры ферромагнетиков // УФН, 1950. Т. XL1, вып. 4, с.453-544.